



بررسی رابطه بین شکل‌های شیمیایی مس و جذب آن توسط گیاه سویا در چند خاک آهکی استان فارس

*لیلا تابنده^۱، محمدرضا بخشی^۲ و نجف علی کریمیان^۳

^۱کارشناس ارشد مرکز تحقیقات کشاورزی و منابع طبیعی استان زنجان،

^۲کارشناس ارشد سازمان جهاد کشاورزی استان زنجان، ^۳استاد گروه خاک‌شناسی، دانشگاه شیراز

تاریخ دریافت: ۹۰/۸/۲۶؛ تاریخ پذیرش: ۹۱/۷/۱۱

چکیده

تعیین شکل‌های شیمیایی مس، یکی از روش‌های بررسی دقیق‌تر وضعیت این عنصر در خاک است. مطالعه روابط بین شکل‌های شیمیایی و ویژگی‌های خاک به توصیف هرچه بهتر تغییرات شیمیایی مس در خاک کمک می‌کند. در این پژوهش، تعداد ۱۰ نمونه خاک از عمق ۰-۳۰ سانتی‌متری نقاط مختلف استان فارس با دامنه وسیعی از خصوصیات فیزیکی و شیمیایی برگزیده شد و پس از آماده‌سازی خاک‌ها، شکل‌های مختلف شیمیایی مس در خاک به روش عصاره‌گیری دنباله‌ای اندازه‌گیری گردید. فراوانی شکل‌های شیمیایی مس در این خاک‌ها به ترتیب زیر بودند: $48 \text{ درصد} = \text{شکل تتمه} > 28 \text{ درصد} = \text{اکسیدهای آهن کریستالی} > 13 \text{ درصد} = \text{مس متصل به موادآلی} > 6 \text{ درصد} = \text{اکسیدهای آهن بی‌شکل} > 5 \text{ درصد} = \text{مس کربناتی} > 3 \text{ درصد} = \text{اکسیدهای منگنز} = \text{تبادلی}. قسمت هوایی گیاه سویا بعد از ۸ هفته برداشت گردید. با اندازه‌گیری غلظت (CuC) و جذب کل مس (CuU) در اندام هوایی سویا، مشاهده شد که از شکل‌های بالا، شکل‌های آلی (CuOM) و کربناتی (CuCa)، بیشترین همبستگی را با مس در اندام هوایی سویا داشتند (سطح احتمالی ۱ درصد) و این شکل‌ها با غلظت‌های مس استخراج شده به وسیله دو عصاره‌گیر EDTA و DTPA همبستگی مثبت معنی‌دار (سطح احتمالی ۱ درصد) نشان دادند. مقایسه بین شکل‌های مختلف شیمیایی مس، نشان داد که شکل آلی با شکل کربناتی همبستگی مثبت معنی‌دار داشت. به علاوه، شکل متصل به اکسیدهای آهن بی‌شکل (CuAFc) با تمام شکل‌ها به جر شکل‌های آلی و کربناتی همبستگی مثبت معنی‌دار نشان دادند. بیشترین همبستگی بین شکل‌های مختلف، نیز بین شکل متصل به اکسید آهن بی‌شکل و شکل متصل به اکسید آهن کریستالی به دست آمد.$

واژه‌های کلیدی: شکل‌های شیمیایی، سویا، مس، غلظت، جذب کل

*مسئول مکاتبه: ltabande@yahoo.com

مقدمه

مس از عناصر غذایی ضروری برای رشد و یکی از اجزا تشکیل دهنده پروتئین کلروپلاست یعنی پلاستوسیانین در گیاه می‌باشد (پراساد و پاور، ۱۹۹۷). آگنین (۲۰۱۰) نشان داد که از بین خصوصیات فیزیکی و شیمیایی خاک، ماده آلی نقش بهسزایی در تغییر شکل‌های شیمیایی مس افزوده شده به خاک از شکل تبادلی و محلول به شکل غیرتبادلی به عهده دارد. طبق گزارش‌های مایز و همکاران (۲۰۰۰) با کاربرد روش‌های عصاره‌گیری دنباله‌ای، می‌توان اتصالات این عنصر در خاک را به شکل‌های مختلف شیمیایی تفکیک نمود. غلاظت مس قابل استفاده گیاهی با افزایش pH و افزایش جذب سطحی آن به وسیله کربنات‌ها و اکسیدها کاهش می‌یابد (لیندسی، ۱۹۹۱). تغییر در شرایط فیزیکوشیمیایی خاک‌ها، در نتیجه مدیریت رژیم‌های رطوبتی خاص، می‌تواند موجب تحرک شکل‌های غیرمتحرک فلرات سنگین شده و ورود آن به چرخه غذایی را باعث شود (زالیدیس و همکاران، ۱۹۹۹). برای درک بهتر شیمی این عنصر غذایی در خاک و دانستن مقدار رهاسازی و ابقاء آن و انتخاب عصاره‌گیرهای مناسب و در نهایت کاربرد بهینه کودهای مس‌دار، عصاره‌گیری دنباله‌ای از اهمیت ویژه‌ای برخوردار است. اهداف زیر در این پژوهش دنبال شده‌اند:

- ۱- تعیین شکل‌های شیمیایی مس در خاک و به دست آوردن رابطه بین شکل‌های شیمیایی مس و ویژگی‌های فیزیکی و شیمیایی خاک‌های مورد مطالعه.
- ۲- مطالعه همبستگی بین شکل‌های مختلف مس در خاک و شکل‌های قابل استفاده گیاهی (استخراج شده به وسیله دو عصاره‌گیر DTPA و EDTA).
- ۳- بررسی پاسخ‌های گیاهی سویا و ارتباط آن با شکل‌های شیمیایی مس در خاک.
پژوهشگران برای جداسازی شکل تبادلی مس، از محلول ۱ مولار نیترات منیزیم (سینگ و همکاران، ۱۹۸۸)، ۱ مولار نیترات پتاسیم (میلر و مکفی، ۱۹۸۳؛ اسپوزیتو و همکاران، ۱۹۸۲)، نیترات کلسیم (ایواساکی و یوشیکاوا، ۱۹۹۰؛ لیانگ و همکاران، ۱۹۹۱؛ روپتا و شوکلا، ۱۹۹۹)، ۱ مولار استات آمونیوم (کاواساکی و همکاران، ۲۰۰۰) و ۰/۱ مولار کلرید کلسیم (سنن و همکاران، ۱۹۹۸) استفاده کرده‌اند. پاین و همکاران (۱۹۸۸) نشان دادند که شکل تبادلی مس از شکل‌های قابل جذب گیاهی بوده که با افزایش مس خاک، مقدار آن افزایش می‌یابد و مس تبادلی و محلول در خاک کمترین مقدار شکل‌های مس در خاک‌های مورد مطالعه را تشکیل می‌دهند (گانگل و همکاران، ۲۰۰۳؛ گانگل و همکاران، ۲۰۰۲؛ یو و زو، ۲۰۰۶). آن‌ها همچنین گزارش کردند که افزایش در شکل تبادلی مس در

خاک‌های شنی بیشتر از سایر خاک‌های مورد مطالعه است که می‌توان آن را معلوم کم‌تر بودن رس و اکسی‌هیدروکسیدهای این خاک‌ها دانست. در پژوهش‌های مختلفی، همبستگی بین مس تبادلی و غلظت مس در اندام‌های هوایی گندم و برنج مثبت و معنی‌دار به‌دست آمده است که البته در مقایسه با همبستگی بین غلظت مس در اندام هوایی و شکل متصل به مواد آلی کم‌تر می‌باشد. هم‌چنین شکل تبادلی با شکل‌های قابل دسترس گیاهی (عصاره‌گیری شده با DTPA) همبستگی مثبت معنی‌داری نشان داده است (راگوپاتی و واسوکی، ۱۹۹۲؛ روپتا و شوکلا، ۱۹۹۹).

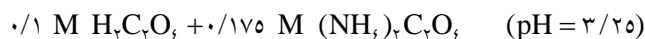
شکل کربناتی یکی دیگر از شکل‌های فلزات در خاک می‌باشد که در پژوهش‌های مختلف با مخلوطی از (اسید استیک و استات سدیم) عصاره‌گیری می‌شود (هان و بانین، ۱۹۹۵؛ ما و ایکسا، ۱۹۸۸؛ راموس و همکاران، ۱۹۹۴). محلول‌های $Na_2\text{-EDTA}$ (ست و همکاران، ۱۹۹۸؛ اسپوزیتو و همکاران، ۱۹۸۲)، 0.05 Molar EDTA (میلر و مافی، ۱۹۸۳) و استات سدیم ۱ مولار نیز برای استخراج شکل کربناتی مس به کار رفته‌اند (راموس و همکاران، ۱۹۹۴؛ اسپوزیتو و همکاران، ۱۹۸۲). ما و ایکسا (۱۹۸۸) گزارش کردند که برای جداسازی شکل کربناتی فلزات، 0.5 Molar (اسید استیک و استات سدیم) با $pH=4$ به ۱ مولار (اسید استیک و استات سدیم) با $pH=5$ برتری دارد. زیرا عصاره‌گیر اولی می‌تواند تمام شکل‌های کربناتی را در خاک‌های با کربنات کلسیم کم‌تر از ۱۰ درصد حل کند ولی عصاره‌گیر دومی، فقط ۴۵ درصد از کل کربنات‌ها را حل می‌کند (ما و ایکسا، ۱۹۸۸). ما و یورن (۱۹۹۵) نشان دادند که عصاره‌گیر ۱ مولار مخلوط استات سدیم و اسید استیک مشکلاتی را در دستگاه جذب اتمی ایجاد می‌کند و استفاده از آن را با محدودیت مواجه می‌سازد و در خاک‌های با کربنات کلسیم کم، مقدار مس کربناتی استخراج شده با مخلوط استات سدیم و اسید استیک، نسبت به سایر خاک‌ها کم‌تر گزارش شده است. شکل کربناتی مس پس از شکل تبادلی و محلول در آب کم‌ترین شکل مس در خاک‌ها هستند (ما و یورن، ۱۹۹۵). اسپوزیتو و همکاران (۱۹۸۲) دریافتند که با افزایش لجن در خاک‌ها، شکل کربناتی مس، افزایش می‌یابد.

شکل متصل به مواد آلی یکی دیگر از شکل‌های فلزات در خاک می‌باشد. فلزات سنگین تمایل دارند که با مواد آلی (هومیک و فولویک اسید) کمپلکس تشکیل دهند. رفتار ماده آلی با فلزات سنگین متفاوت بوده طوری که در مس، کمپلکس ماده آلی با مس موجب کاهش قابلیت جذب گیاهی آن می‌گردد (زالیدیس و همکاران، ۱۹۹۹). شکل آلی فلزات معمولاً شامل شکل قابل استخراج با پیروفسفات یا EDTA یا شامل شکلی از فلزات است که توسط اکسیدکننده‌هایی مثل هیپوکلریدسدیم

و یا آب اکسیژنه، استخراج می‌شوند (کلر و ودی، ۱۹۹۴). در عصاره‌گیری شکل آلی، پیروفسفات معمولاً بر EDTA ترجیح داده می‌شود چون که اولاً بهتر می‌تواند فلزات را از مواد کلوئیدی در خاک استخراج کند و ثانیاً حلالیت شکل‌های متصل به اکسیدهای منگنز توسط این عصاره‌گیر (پیروفسفات) نسبت به EDTA کم‌تر است (میلر و همکاران، ۱۹۸۶؛ کلر و ودی، ۱۹۹۴). برای جداسازی شکل آلی مس، از ۰/۱ مولار پیروفسفات پتابیم نیز استفاده شده است (ایواساکی و یوشیکاوا، ۱۹۹۰؛ روپتا و شوکلا، ۱۹۹۹). سهاها و ماندال (۲۰۰۰) دریافتند که غرقاب کردن خاک‌ها موجب کاهش مقدار شکل آلی مس می‌شود و همچنین کاربرد ماده آلی همزمان با غرقاب کردن خاک، سبب کاهش در شکل آلی مس به کم‌ترین مقدار ممکن است. مگرات و همکاران (۱۹۸۸) نشان دادند که افزایش ماده آلی به خاک موجب انتقال مس از سایر شکل‌ها به شکل آلی می‌گردد. کاواساکی و همکاران (۲۰۰۰) گزارش کردند که بیشترین مقدار مس در فاضلاب‌های صنعتی، شکل آلی مس است. آن‌ها برای عصاره‌گیری شکل آلی مس از محلولی از اسید نیتریک ۰/۰۲ مولار و آب اکسیژنه ۳۰ درصد استفاده کردند. لیانگ و همکاران (۱۹۹۱) تبدیل ۱۰-۳۶ درصدی مس (سولفات مس) افزوده شده به خاک، به شکل آلی گزارش کردند.

شکل‌های مس متصل به اکسیدهای منگنز، توسط ۰/۱ مولار هیدروکسیل آمین هیدروکلرید عصاره‌گیری می‌شود و این محلول Mn^{+4} را به Mn^{+2} قابل محلول احیاء می‌کند. از محلول ۰/۱ مولار هیدروکسیل آمین هیدروکلرید به همراه ۰/۰۱ نرمال اسیدنیتریک نیز برای جداسازی مس متصل به اکسیدهای منگنز، استفاده شده است (لیانگ و همکاران، ۱۹۹۱).

مس متصل به اکسیدهای آهن به دو جز متصل به اکسیدهای آهن بی‌شکل و اکسیدهای آهن کریستالی تقسیم می‌شود برای استخراج مس متصل به اکسیدهای آهن از مواد زیر استفاده می‌گردد (ایواساکی و یوشیکاوا، ۱۹۹۰؛ روپتا و شوکلا، ۱۹۹۹):
مس متصل به اکسیدهای آهن بی‌شکل:



و مس متصل به اکسیدهای آهن کریستالی:



لیانگ و همکاران (۱۹۹۱) گزارش کردند که ۳۵-۱۲ درصد مس افزوده شده به خاک به شکل متصل به اکسیدهای آهن تبدیل شده است. خدر (۲۰۰۵) نشان داد که تجمع مس به طور عمده در شکل‌های متصل به اکسیدهای آهن و منگنز دیده شده است. ساها و ماندال (۲۰۰۰) گزارش کردند که با غرقاب کردن خاک، مس متصل به اکسیدهای آهن بی‌شکل افزایش می‌باید. سه عصاره‌گیر عمده، برای استخراج فلزات از اکسیدهای آهن کریستالی به کار برد شده‌اند: ۱- سدیم دی‌تیونیات سیتریک اسید، ۲- اکسالات با تابش فرابینفس و ۳- محلول ۱ مولار هیدروکسیل آمین هیدروکلرید با اسید استیک ۲۵ درصد. با توجه به این‌که درجه ترکیب‌شوندگی فلزات با محلول دی‌تیونیات از فلزی به فلز دیگر متفاوت است مقدار فلزات استخراج شده با دی‌تیونیات کم‌تر از هیدروکسیل آمین هیدروکلرید می‌باشد (کلر و ودی، ۱۹۹۴). مس متصل به اکسیدهای آهن، از شکل‌های غیرقابل دسترس گیاهی نام برده می‌شود و نشان داده شده است که کوددهی با سولفات‌مس در خاک‌ها، این شکل از مس نیز همراه با شکل‌های دیگر افزایش می‌باید و افزایش در این شکل از مس در خاک‌های مورد مطالعه، دلیلی بر تبدیل کود مس به شکل غیرقابل دسترس گیاهی می‌باشد (پاین و همکاران، ۱۹۸۸).

مواد و روش‌ها

از مناطق مختلف استان فارس از عمق‌های ۰-۳۰ سانتی‌متر نمونه‌برداری خاک انجام گرفت و پس از آماده‌سازی و خشک کردن آن‌ها در هوای آزاد و عبور از الک ۲ میلی‌متری، ویژگی‌های فیزیکی و شیمیایی (علی‌احیایی، ۱۹۹۸) اندازه‌گیری گردید. سپس تعداد ۱۰ نمونه از خاک‌ها، با دامنه وسیعی از خصوصیات فیزیکی و شیمیایی انتخاب شده و مقداری از آن برای انجام عصاره‌گیری دنباله‌ای به آزمایشگاه و باقی‌مانده برای کشت به گل خانه انتقال داده شدند.

به‌منظور بررسی رابطه‌های میان شکل‌های شیمیایی مس در خاک و پاسخ‌های گیاهی و نیز به‌دست آوردن همبستگی بین شکل‌های مختلف شیمیایی و شکل‌های قابل جذب گیاهی، آزمایش‌های زیر انجام گرفت.

آزمایش‌های گل خانه‌ای: آزمایش با ۳ تکرار و به صورت طرح کامل تصادفی به اجرا درآمد. از هر یک از ۱۰ خاک انتخاب شده، مقدار ۲ کیلوگرم در یک کیسه پلاستیکی ریخته و با افزودن آب به حد ظرفیت زراعی، اجازه داده شد تا خاک و آب به حالت تعادل برسند و پس از کاشت ۶ عدد از بذر سویا رقم ویلیامز، رطوبت تمام گلدان‌ها با آب مقطر دوباره به حد ظرفیت زراعی رسانده و در حدود

۲ هفته پس از کاشت، تعداد بوته‌ها در هر گلدان به ۳ عدد کاهش داده شد و ۸ هفته پس از تاریخ کاشت، گیاهان از طوفه قطع و ۲ بار در آب مقطر شسته شده و در آون ۶۵ درجه سانتی‌گراد به مدت ۴ ساعت خشک و به وسیله آسیاب برقی، پودر شدند.

تجزیه‌های آزمایشگاهی: در آزمایشگاه، با انجام عصاره‌گیری دنباله‌ای (روش سینگ و همکاران، ۱۹۸۸) شکل‌های مختلف شیمیایی در خاک‌های منتخب (قبل از کشت)، به شرح روش زیر و به وسیله دستگاه جذب اتمی اندازه‌گیری گردید (جدول ۱).

جدول ۱- شرح مراحل روش سینگ و همکاران (۱۹۸۸) برای جداسازی شکل‌های مختلف شیمیایی مس.

جز	جز	محلول عصاره‌گیر	میلی لیتر عصاره: گرم خاک	مدت تکان دادن
۱- تبادلی (CuEx)		۱M Mg(No ₃) ₂		۲ ساعت
۲- کربناتی (CuCa)		۱M NaOAc		۵ ساعت
۳- آئی (CuOM)		۰./۷M NaOCl	۰ با ۲ بار تکرار	۳۰ دقیقه در آب جوش
۴- اکسیدهای منگنز (CuMnO)		۱M NH ₄ OH.HCl		۳۰ دقیقه
۵- اکسیدهای آهن بی‌شکل (CuAFe)		۰./۲۵M NHOH.HCl + ۰./۲۵M HCl		۳۰ دقیقه در درجه سانتی‌گراد
۶- اکسیدهای آهن کریستالی (CuCFe)		۰./۲M (NH ₄) _۲ C _۲ O _۴ + ۰./۲M H _۲ C _۲ O _۴ + ۰./۱M Ascorbic Acid		۳۰ دقیقه در آب جوش

برای اندازه‌گیری مقدار مس کل خاک، با هضم ۲ گرم خاک در ۲۵ میلی‌لیتر اسید نیتریک ۴ نرمال و با تکان دادن به مدت ۱۶ ساعت در دمای ۸۰ درجه سانتی‌گراد، تعیین گردید (اسپوزیتو و همکاران، ۱۹۸۲). سپس مقدار مس تتمه، از کم کردن مقدار مس کل (روش نامبرده) و مجموع شکل‌های عصاره‌گیری شده قبلی، محاسبه گردید.

۱ گرم از ماده خشک گیاهی (آسیاب شده) در کوره الکتریکی در دمای ۵۵۰ درجه سانتی‌گراد خاکستر شده و در ۵ میلی‌لیتر اسید کلریدریک ۲ مولار حل و پس از صاف کردن با کاغذ صافی و اتمن ۴۲ به حجم رسانده شد (اما می، ۱۹۹۸). غلظت مس گیاه با استفاده از دستگاه جذب اتمی مدل (GBC Avanta P) تعیین گردید.

اطلاعات به دست آمده توسط نرم افزارهای SPSS و Excel مورد تجزیه و تحلیل آماری قرار گرفتند و همبستگی میان شکل‌های مختلف شیمیایی مس، با مقدار غلظت و جذب کل آن در گیاه سویا، به وسیله مدل‌های رگرسیونی انجام گرفت.

نتایج و بحث

خصوصیات فیزیکی و شیمیایی خاک‌ها به شرح جدول ۲ می‌باشد.

جدول ۲ - ویژگی‌های فیزیکوشیمیایی خاک‌های مورد مطالعه.

شماره خاک	ماده آلی (درصد)	pH	کاتیونی (سانتی مول بار در کیلوگرم)	ظرفیت تبادل کربنات کلسیم معادل (درصد)	قابلیت هدایت الکتریکی (دسمی زیمنس بر متر)	شن سبلت رس (درصد)
۱	۱/۵۳	۷/۵۹	۲۵/۳۳	۲۵/۰۴	۰/۴۹	۳۶ ۳
۲	۱/۸۷	۸/۵۲	۳۲/۴۱	۲۷/۶۶	۰/۴۶	۳۴ ۱۴
۳	۱/۹۴	۷/۳۷	۱۱/۸۳	۴۷/۶۵	۰/۹۹	۵۰ ۱۲
۴	۲/۲۱	۷/۶۱	۱۲/۴۸	۵۵/۵	۱/۱۵	۴۴ ۲۲
۵	۱/۹۷	۷/۵۵	۱۱/۸۳	۵۰/۷۴	۱/۱۹	۴۲ ۲۶
۶	۲/۳۱	۷/۵۴	۱۷/۵۳	۳۶/۹۴	۰/۶۴	۴۲ ۱۲
۷	۱/۳۶	۷/۷۶	۱۱/۱۹	۱۷/۴۷	۱/۱۱	۳۸ ۲۴
۸	۰/۷۵	۷/۴۹	۷/۶	۷۱/۴۵	۰/۶۸	۳۴ ۵۰
۹	۱/۵۳	۷/۶۴	۱۴/۵۳	۴۳/۸۴	۱/۵۱	۳۰ ۲۲
۱۰	۱/۷	۷/۵۲	۳۱/۳۴	۳۲/۸۹	۰/۴۹	۳۲ ۱۶

میانگین شکل‌های شیمیایی مس در خاک‌ها: شکل تبادلی اندازه‌گیری شده کمتر از حد حساسیت دستگاه جذب اتمی بوده و ناچیز گزارش شد (جدول ۳). سنت و همکاران (۱۹۹۸) مقدار شکل تبادلی مس را بسیار کم و ناچیز گزارش کردند. پژوهشگران در پژوهش‌های مشابهی، شکل تبادلی را به ترتیب فقط ۱۰ درصد کل مس (کاواساکی و همکاران، ۲۰۰۰)، ۰/۲۹ میلی‌گرم در کیلوگرم (راموس و همکاران، ۱۹۹۴)، ۱/۳ میلی‌گرم در کیلوگرم (میلر و مکفی، ۱۹۸۳) و ۰/۰۷-۰/۰۳ میلی‌گرم در کیلوگرم خاک (میلر و همکاران، ۱۹۸۶) به دست آورده‌اند.

شکل کربناتی مس از ۱۷۳۴-۰/۷۲ با میانگین ۱/۰۹ میلی‌گرم در کیلوگرم خاک تغییرکرد. ما و یورن (۱۹۹۵) در خاکهای آهکی، متوسط مس کربناتی را از ۰/۵-۱/۲۴ میلی‌گرم در کیلوگرم و راموس و همکاران (۱۹۹۴) متوسط مس کربناتی را در حدود ۰/۹۲ میلی‌گرم در کیلوگرم خاک به دست آورده‌اند. شکل آلی از ۱۰۸-۵/۶۵ با میانگین ۲/۹۵ میلی‌گرم در کیلوگرم خاک متغیر بود. لیانگ و همکاران (۱۹۹۱) متوسط شکل آلی را از ۰/۰۵-۴/۷۷ میلی‌گرم در کیلوگرم خاک گزارش کرده‌اند.

جدول ۳- میانگین شکل‌های شیمیایی مس (میلی‌گرم در کیلوگرم خاک).

شماره خاک	مس متصول به کربناتی	مس متصول به تبادلی	مس	مس	مس متصول به آلی	مس متصول به منگنز	مس متصول به آهن	مس متصول به اکسیدهای آهن	مس متصول به کریستالی	مس	تتمه
۱	۰/۹۴	ن ج	۲/۲۵	ن ج	۳/۹۲	۹/۴۸	۳۷/۵۷	اکسیدهای آهن	کریستالی	۹/۴۸	۳۷/۵۷
۲	۱/۰۷	ن ج	۲/۳۱	ن ج	۳/۵۰	۷/۵۶	۱۴/۳۶	اکسیدهای آهن	کریستالی	۷/۵۶	۱۴/۳۶
۳	۱/۱۸	ن ج	۳/۴۲	ن ج	ن ج	۱/۸۹	۱۰/۵۴	اکسیدهای آهن	کریستالی	۱/۸۹	۱۰/۵۴
۴	۱/۱۶	ن ج	۲/۷۷	ن ج	ن ج	۱/۴۸	۱۱/۱۷	اکسیدهای آهن	کریستالی	۱/۴۸	۱۱/۱۷
۵	۱/۳۱	ن ج	۵/۶۵	ن ج	۱/۵۱	۹/۹۹	۲/۴۷	اکسیدهای آهن	کریستالی	۹/۹۹	۲/۴۷
۶	۱/۳۴	ن ج	۳/۰۲	ن ج	ن ج	۵/۰۹	۱۲/۳۶	اکسیدهای آهن	کریستالی	۵/۰۹	۱۲/۳۶
۷	۱/۲۷	ن ج	۴/۹	ن ج	۱/۳۸	۷/۹۵	۳/۳۸	اکسیدهای آهن	کریستالی	۷/۹۵	۳/۳۸
۸	۱/۱۶	ن ج	۱/۰۸	ن ج	۱/۰۵	۵/۹۳	۲/۵۷	اکسیدهای آهن	کریستالی	۵/۹۳	۲/۵۷
۹	۰/۷۲	ن ج	۲/۱۷	ن ج	۱/۰۶	۷/۴۷	۶/۷۴	اکسیدهای آهن	کریستالی	۷/۴۷	۶/۷۴
۱۰	۰/۷۳	ن ج	۰/۷۳	۲	۲/۷	۸/۹۹	۸/۴۴	اکسیدهای آهن	کریستالی	۸/۹۹	۸/۴۴
حداقل	۰/۷۲	ن ج	۱/۰۸	ن ج	ن ج	۱/۴۸	۲/۴۷	اکسیدهای آهن	کریستالی	۱/۴۸	۲/۴۷
حداکثر	۱/۳۴	ن ج	۵/۶۵	ن ج	۳/۹۲	۹/۹۹	۳۷/۵۷	اکسیدهای آهن	کریستالی	۹/۹۹	۳۷/۵۷
میانگین	۱/۰۹	ن ج	۲/۹۵	ن ج	۱/۰۱	۷/۳۸	۱۰/۸۶	اکسیدهای آهن	کریستالی	۷/۳۸	۱۰/۸۶

ن چ (ناچیز): غلط مشاهده شده کمتر از حد اندازه‌گیری با دستگاه جذب اتمی می‌باشد.

مس متصل به اکسیدهای منگنز اندازه‌گیری شده کمتر از محدوده حساسیت دستگاه جذب اتمی و ناچیز گزارش شد. لیانگ و همکاران (۱۹۹۱) مقدار مس متصل به اکسیدهای منگنز را در حدود $4\text{--}43$ میلی‌گرم در کیلوگرم خاک گزارش کردند.

میانگین مس متصل به اکسیدهای آهن بی‌شکل و اکسیدهای آهن کریستالی به ترتیب ۱/۵۱ و ۶۳۸ میلی‌گرم در کیلوگرم خاک بود. ما و یورن (۱۹۹۵) در خاک‌های آهکی، مس متصل به اکسیدهای آهن را از ۲/۴۵-۶/۷۱ میلی‌گرم در کیلوگرم خاک گزارش کردند. سینگ و همکاران (۱۹۸۸) مقدار مس متصل به اکسیدهای آهن کریستالی و بی‌شکل را به ترتیب ۳/۵ و ۶/۳ میلی‌گرم در کیلوگرم خاک به دست آورده‌اند. گانکل و همکاران (۲۰۰۴) گزارش کردند که با افزودن مس خاک، قسمت عمدۀ آن به شکل متصل به اکسیدها به دست آمده است.

مس تتمه در محدوده ۲/۴۷-۳/۶/۵۷ با میانگین ۱۰/۸۶ میلی‌گرم در کیلوگرم خاک قرار داشت. سینگ و همکاران (۱۹۸۸) مقدار مس تتمه در خاک‌های آهکی هند را حدود ۱۸/۹ میلی‌گرم در کیلوگرم خاک و در خاک‌هایی با pH حدود ۵/۵، مس تتمه در افق $A = ۳۵/۵ - ۶/۰$ میلی‌گرم در کیلوگرم و در افق $B = ۴۳/۲ - ۲/۴$ گزارش کردند.

مقدار مس کل اندازه‌گیری شده در این پژوهش (با استفاده از HNO_3) در حدود ۲۲/۷ میلی‌گرم در کیلوگرم خاک به دست آمد. سینگ و همکاران (۱۹۸۸) مقدار مس کل عصاره‌گیری شده با مخلوط اسیدهای HClO_4 و HF را به طور میانگین ۳۰ میلی‌گرم در کیلوگرم خاک‌های آهکی گزارش کردند. همبستگی شکل‌های شیمیابی مس با ویژگی‌های خاک: در این پژوهش، مس متصل به مواد آلی با هیچ‌یک از خصوصیات خاک همبستگی نشان نداد (جدول ۴). ولی در پژوهش مشابهی در خاک‌های آهکی، مشخص گردید که بین مقدار سیلت و شکل آلی مس، همبستگی مثبت و معنی‌داری وجود دارد (سینگ و همکاران، ۱۹۸۸).

شکل کربناتی مس فقط با مقدار سیلت خاک همبستگی مثبت و معنی‌دار (سطح احتمال ۵ درصد) نشان داد. سیمس (۱۹۸۶) در مطالعه‌ای، همبستگی مثبت و معنی‌داری بین شکل کربناتی مس و مقدار کربنات کلسیم خاک به دست آوردند.

مس متصل به اکسیدهای آهن بی‌شکل با CEC و CCE همبستگی مثبت و معنی‌دار (به ترتیب در سطح احتمال ۱ و ۵ درصد) داشتند و مس متصل به اکسیدهای آهن کریستالی با هیچ‌یک از ویژگی‌های خاک همبستگی معنی‌داری نشان نداد. کلر و ودی (۱۹۹۴) میان مس متصل به اکسیدهای آهن با pH و آهن کل در خاک، همبستگی مثبت و نیز مس متصل به اکسیدهای آهن بی‌شکل و کریستالی با CEC، OM و سیلت همبستگی مثبت و با مقدار شن همبستگی منفی گزارش کرده است. در یک پژوهش مشابهی در خاک‌های آهکی هند، همبستگی مثبتی میان مس متصل به اکسیدهای آهن

بی‌شکل و کریستالی با ماده آلی و سیلت و رس به‌دست آمد در حالی که این همبستگی با مقدار شن، منفی گزارش شده است. در همین مطالعه، همبستگی میان مس تتمه با ماده آلی و مقدار رس و سیلت مثبت و با مقدار شن منفی به‌دست آمد (سینگ و همکاران، ۱۹۸۸). مس تتمه با CCE و مقدار شن همبستگی منفی و با مقدار رس همبستگی مثبت معنی‌داری در سطح احتمالی ۱ درصد نشان داده است.

جدول ۴- همبستگی شکل‌های شیمیایی مس با ویژگی‌های خاک.

مس تتمه	آهن کریستالی	آهن بی‌شکل	مس متصل به اکسیدهای آهن	مس متصل به اکسیدهای آهن	مس کربناتی	مس آلی	ویژگی‌های خاک
۰/۱۴۹	-۰/۲۹۱	-۰/۲۶۷	-۰/۲۴۷	-۰/۳۵۲	OM		
۰/۰۳۷	۰/۲۸۵	۰/۱۵۳	-۰/۱۴۵	۰/۱۸۲	pH		
۰/۵۱۴	۰/۴۶۱	۰/۷۷**	۰/۵۱۹	-۰/۳۲۶	CEC		
-۰/۶۶۵*	-۰/۴۲۶	۰/۶۵*	۰/۳۷۶	۰/۰۳۱	CCE		
-۰/۴۹۱	-۰/۲۹۳	-۰/۵۶۶	۰/۰۵۲	۰/۴۴۶	EC		
-۰/۷۲۱*	-۰/۰۷۸	-۰/۳۳۲	۰/۱۹۸	-۰/۱۱	Sand		
۰/۰۲۶	-۰/۶۰۷	-۰/۰۹۶	۰/۶۸۸*	۰/۴۹۵	Silt		
۰/۷۲۴*	۰/۲۴۱	-۰/۵۶۰	-۰/۰۵۶۰	-۰/۰۲۷۴	Clay		

* معنی دار در سطح احتمال ۵ درصد و ** معنی دار در سطح احتمال ۱ درصد.

واحد غلاظت شکل‌های شیمیایی مس، میلی‌گرم در کیلوگرم خاک و واحد ویژگی‌های خاک مشابه جدول ۲ می‌باشد.

رابطه بین مقدار مس عصاره‌گیری شده با DTPA و EDTA با غلاظت و جذب کل در سویا: همبستگی غلاظت مس در گیاه با مس عصاره‌گیری شده با DTPA مثبت و معنی‌دار بود ($r=0/749^{*}$) و رابطه بین مقدار مس جذب شده نیز با مس استخراج شده به‌وسیله EDTA و DTPA مثبت و معنی‌دار به‌دست آمد (بهترتب $r=0/736^{*}$ و $r=0/887^{***}$). ($r=0/849^{*}$).

همبستگی شکل‌های قابل جذب گیاهی با ویژگی‌های خاک: میانگین غلاظت مس قابل دسترس گیاهی عصاره‌گیری شده با DTPA و EDTA در خاک‌های مختلف، بهترتب برابر با ۱/۹۳ و ۳/۵۳ میلی‌گرم در کیلوگرم خاک به‌دست آمد. از طرفی، بین مس استخراج شده به‌وسیله این عصاره‌گیرها با هیچ‌یک از ویژگی‌های خاک، همبستگی مثبت و معنی‌داری به‌دست نیامد.

رابطه شکل‌های قابل جذب گیاهی با شکل‌های شیمیایی مس: مس عصاره‌گیری شده به‌وسیله DTPA با شکل‌های آلی، کربناتی و تتمه مس رابطه مثبت و معنی‌داری داشت. مس عصاره‌گیری شده با EDTA علاوه‌بر مس آلی و مس تتمه، با مس متصل به اکسیدهای آهن کریستالی نیز همبستگی معنی‌داری نشان داد. گانکل و همکاران (۲۰۰۳) گزارش کردند که شکل آلی، بیشترین همبستگی را با شکل‌های قابل جذب گیاهی نشان داده است.

رابطه غلظت (Cu Concentration) و جذب کل مس (Cu Uptake) در سویا با شکل‌های شیمیایی مس در خاک: غلظت مس در گیاه سویا با مس آلی و مس کربناتی همبستگی مثبت معنی‌داری نشان داد (به ترتیب $r=0.88^{**}$ و $r=0.83^{**}$). مقدار جذب کل نیز با مس کربناتی و آلی همبستگی مثبت داشت (به ترتیب $r=0.83^{**}$ و $r=0.76^{*}$) (جدول ۶). زلفی و مفتون (۲۰۱۰) نشان دادند که کاربرد مس، منجر به افزایش شکل کربناتی و آلی این عنصر در خاک گردید و بیشترین همبستگی بین شکل آلی این عنصر و غلظت و جذب کل آن در گیاه به دست آمد. یو و زو (۲۰۰۶) گزارش کردند که مس آلی و تبادلی با غلظت مس گیاه همبستگی مثبت معنی‌دار نشان داده است. گانکل و همکاران (۲۰۰۳) دریافتند که از بین شکل‌های مختلف شیمیایی مس، تنها شکل آلی همبستگی مثبت معنی‌داری با غلظت و جذب کل مس در گیاه ذرت نشان داده است.

همبستگی شکل‌های شیمیایی مس با یکدیگر: همان‌طور که قبل اشاره گردید، مس آلی و کربناتی، بیشترین همبستگی را با غلظت و جذب کل مس در اندام هوایی سویا نشان داده‌اند (سطح احتمال ۱ درصد) و این شکل‌ها با غلظت مس استخراج شده به‌وسیله دو عصاره‌گیر DTPA و EDTA همبستگی مثبت داشتند (جدول ۵). بنابراین در مقایسه بین شکل‌های مختلف شیمیایی مس، مشخص گردید که شکل آلی و کربناتی به عنوان شکل‌های قابل جذب گیاهی بوده و فقط با هم‌دیگر همبستگی مثبت معنی‌دار (سطح احتمال ۱ درصد) نشان داده‌اند و شکل متصل به اکسیدهای آهن بی‌شکل (CuAFe)، با تمام شکل‌ها به جز شکل‌های آلی و کربناتی همبستگی مثبت معنی‌دار نشان دادند (جدول ۷).

جدول ۵- رابطه شکل‌های قابل جذب گیاهی و شکل‌های شیمیایی مس.

معادله	ضریب تبیین (R^2)
$CuDTPA = 0.876 + 0.36 CuOM$	0.907**
$CuDTPA = 0.425 + 0.413 CuOM + 0.0246 CuRe$	0.757**
$CuDTPA = 0.4737 + 1.3438 CuCa$	0.234**
$CuEDTA = 2.239 + 0.436 CuOM$	0.435**
$CuEDTA = 1.497 + 0.529 CuOM + 0.043 CuRe$	0.657**
$CuEDTA = 1.079 + 0.487 CuOM + 0.0375 CuRe + 0.0944 CuCFe$	0.737**
$CuEDTA = 4.864 - 3.2020 / CuOM$	0.525**
$CuEDTA = 3.7097 - 0.3990 CuCFe + 0.0486 (CuCFe)^2$	0.402**

نشانه‌های به کار برده شده بالا در متن شرح داده شده است.

جدول ۶- رابطه غلظت و جذب کل مس در سویا با شکل‌های شیمیایی مس در خاک.

معادله	ضریب تبیین (R^2)
$Cu C = 2.38 + 1.46 CuOM$	0.782**
$Cu C = -2.51 + 8.43 CuCa$	0.784**
$Cu C = -1.59 + 1.01 CuOM + 4.86 CuCa$	0.934**
$Cu U = -3.44 + 1.00 CuCa$	0.786**
$Cu U = 3.0.87 + 14.92 CuOM$	0.582*

واحد شکل‌های قابل جذب گیاهی میلی گرم در کیلوگرم، واحد غلظت (CuP) میکروگرم در گرم ماده خشک گیاهی و واحد جذب کل (CuU) میکروگرم در گلدان می‌باشد. نشانه‌های به کار برده شده بالا در متن شرح داده شده است.

جدول ۷- همبستگی شکل‌های شیمیایی مس با یکدیگر.

	CuCa	CuOM	CuAFe	CuCFe	CuT
CuOM	0.51**				
CuAFe	-0.43*	-0.185			
CuCFe	-0.26	-0.158	0.763**		
CuT	-0.241	-0.109	0.707**	0.475**	
CuRe	-0.237	-0.286	0.50**	0.153	0.935**

* معنی دار در سطح احتمال ۵ درصد و ** معنی دار در سطح احتمال ۱ درصد.

واحد شکل‌های شیمیایی مس میلی گرم در کیلوگرم خاک می‌باشد. نشانه‌های به کار برده شده بالا در متن شرح داده شده است.

نتیجه‌گیری

نتایج به دست آمده از عصاره‌گیری دنباله‌ای، نشان داد که بعد از شکل تتمه، قسمت عمده مس خاک، به شکل متصل به اکسیدهای آهن کریستالی (۲۸ درصد کل مس خاک) است که می‌توان آن را معلول پیوند قوی این عنصر با اکسیدها و هیدروکسیدهای آهن در خاک نسبت داد که به عنوان شکل غیرقابل دسترس گیاهی نام برده می‌شود (گانگل و همکاران، ۲۰۰۴؛ پاین و همکاران، ۱۹۸۸). در مقایسه بین شکل‌های مختلف شیمیایی مس، شکل آلی و کربناتی با غلظت و جذب کل مس در گیاه و شکل قابل جذب گیاهی در خاک (عصاره‌گیری با DTPA) همبستگی مثبت معنی‌دار نشان داد و با توجه به این‌که، درصد کمی از مس کل خاک به شکل آلی و کربناتی (به ترتیب ۱۳ و ۵ درصد کل مس) به دست آمد، می‌توان چنین استنباط کرد که قسمت عمده مس خاک در شکل‌های غیرقابل استفاده گیاهی می‌باشد.

منابع

- Agbenin, J.O. 2010. Extractability and transformation of copper and zinc added to tropical Savanna soil under long-term pasture. Commun. Soil Sci. Plant Anal. 41: 8. 1016-1027.
- Ali-Ehiae, M. 1998. Methods of soil chemical analysis. Soil.Water Res Inst. 1024p.
- Emami, A. 1998. Methods of plant chemical analysis. Soil.Water Res Inst. 982p.
- Cenet, R., Pomares, F., Tarazona, F., and Stela, M. 1998. Sequential fractionation and plant availability of heavy metals as affected by sewage sludge applications to soil. Commun .Soil Sci. Plant Anal. 29: 697-716.
- Gunkel, P., Jezequel, K., and Faber, B. 2002. Temporal evolution of copper distribution in soil fractions, influence of soil pH and organic carbon level on copper distribution. Env.Tech. 23: 9. 1001-1008.
- Gunkel, P., Roth, E., and Faber, B. 2003. Copper distribution in chemical soil fractions and relationships with maize crop yield. Environ. Chem. Lett. 1: 92-97.
- Gunkel, P., Roth, E., and Faber, B. 2004. Sequential extraction of copper from soils and relationships with copper in maize. Environ Chem Lett. 2: 99-103.
- Han, F.X., and Banin, A. 1995. Selective sequential dissolution techniques for trace metals in arid-zone soils: the carbonate dissolution step. Commun. Soil Sci. Plant Anal. 26: 553-576.
- Iwasaki, K., and Yoshikava, G. 1990. Fractionation of copper and zinc in greenhouse soils. Trans. 14th Int. Congr. Soil Sci. 11: 363-364.

- 10.Kawasaki, A., Kimura, R., and Arai, S. 2000. Fractionation of trace elements in wastewater treatment sludges. *Commun. Soil Sci. Plant Anal.* 31: 2413-2423.
- 11.Keller, C., and Vedy, J.C. 1994. Distribution of copper and cadmium fractions in two forest soils. *J. Environ. Qual.* 23: 987-999.
- 12.Liang, J., Stewart, J.W.B., and Karamanos, R.E. 1991. Distribution and plant availability of soil copper fractions in Saskatchewan. *Can. J. Soil Sci.* 71: 89-99.
- 13.Lindsay, W.L. 1991. Iron oxide solubilization by organic matter and its effect on iron availability. *Plant. Soil.* 130: 27-34.
- 14.Ma, Y.B., and Xia, R.J. 1988. Research on soil microelements I. Fractionation methods of zinc in calcareous soils (In Chinese). *Acta Agri.univ Pekinensis.* 14: 149-155.
- 15.Ma, Y.B., and Uren, N.C. 1995. Application of a new fractionation scheme for heavy metals in soils. *Commun. Soil Sci. Plant Anal.* 26: 3291-3303.
- 16.Maiz, I., Arambarri, I., Garcia, R., and Millan, E. 2000. Evaluation of heavy metal availability in polluted soils by two sequential extraction procedures using factor analysis. *Environ. Pollut.* 110: 3-9.
- 17.Mc Grath, S., Sanders, J.R., and Shalaby, M.H. 1998. The effect of soil organic matter levels on soil solution concentrations and extractabilities of manganese, Zinc and Cooper. *Geoderma.* 42: 177-188.
- 18.Miller, W.P., and McFee, W.W. 1983. distribution of Cadmium, Zinc, Copper, and Lead in soils of industrial Northwestern Indiana. *J. Environ. Qual.* 12: 1. 29-33.
- 19.Miller, W.P., Martenes, D.C., and Zelazny, L.W. 1986. Effect of sequence in extraction of trace metals from soils. *Soil Sci. Soc. Am. J.* 50: 598-601.
- 20.Payne, G.G., Martens, D.C., Kornegay, E.T., and Lindemann, M.D. 1988. Availability and form of copper in three soils eight annual application of copper-enriched swine manure. *J. Environ. Qual.* 17: 740-746.
- 21.Prasad, R., and Power, J.F. 1997. Soil fertility management for sustainable agriculture. Lewis, New York.
- 22.Raghupathi, H.B., and Vasuki, N. 1992. Transformation of copper to different forms in soils and their contribution to plant uptake. *J. Ind. Soc. Soil Sci.* 40: 800-804.
- 23.Ramos, L., Hernandez, L., and Gonzalez, M.J. 1994. Sequential fractionation of copper, lead, cadmium and zinc in soils from or near Donana National Park. *J. Environ. Qual.* 23: 50-57.
- 24.Rupta, T.R., and Shukla, L.M. 1999. Comparison of four extractants and chemical fraction for assessing available zinc and copper in soil of India. *Commun. Soil Sci. Plant Anal.* 30: 2579-2591.
- 25.Saha, J.K., and Mandal, B. 2000. Redistribution of copper in alfisols under submergence. II. Applied copper. *Commun. Soil Sci. Plant Anal.* 31: 1121-1127.

- 26.Sims, J.T. 1986. Soil pH effects on distribution and plant availability of manganese, copper and zinc. *Soil Sci. Soc. Am. J.* 50: 367-373.
- 27.Singh, J.P., Karwasra, S.P.S., and Singh, M. 1988. Distribution and forms of copper, iron, manganese and zinc in calcareous soils of India. *Soil Sci.* 146: 359-366.
- 28.Sposito, G., Lund, L.J., and Chang, A.C. 1982. Trace metal chemistry in arid-zone amended with sewage sludge: I. Fractionation of Ni, Cu, Zn, Cd and Pb in solid phases. *Soil Sci. Soc. Am. J.* 46: 260-264.
- 29.Yu, Y., and Zhou, Q.X. 2006. Impacts of soybean growth on Cu speciation and distribution in two rhizosphere soils. *Biol. Fert. Soils.* 42: 5. 450-456.
- 30.Zalidis, G., Barbayiarinis, N., and Matsi, T. 1999. Forms and distribution of heavy metals in soils of the axios delta of northern Greece. *Commun. Soil Sci. Plant Anal.* 30: 817-827.
- 31.Zolfi, M., and Maftoon, M. 2010. Effect of Cu and Zn and chemical forms on growth and chemical composition of Rice in calcareous soil. *JWSS-Isfahan University Technology*, 14: 45. 111-117.



Evaluation of the relationships between Cu chemical forms and Cu uptake by Soybean in several calcareous soils in Fars Province

***L. Tabande¹, M.R. Bakhshi² and N.A. Karimian³**

¹M.Sc., Agricultural and Natural Resources Research Center of Zanjan Province, ²M.Sc., Agricultural Organization, Zanjan, ³Professor, Dept. of Soil Science, Shiraz University

Received: 11/17/2011; Accepted: 10/02/2012

Abstract

Determination of copper chemical forms is one of the accurate methods to study the status of this element (Cu) in the soil. Assessment of the relationships between the chemical forms and soil characteristic helps describe the chemical changes of copper in the soil. In this study, 10 surface soil samples (0-30 cm) were collected from different fields in Fars Province with a wide range of physical and chemical properties. After preparing soils, various chemical forms of copper in soil were measured by sequential extraction method. Chemical forms of copper in the soil were in the following order: CuEx=CuMnO= ND < CuCa=5% < CuAFe =6% < CuOM=13% < CuCFe=28% < CuRe=48%. The aerial parts of Soybean plants were harvested for 8 weeks after plant emergence. With measuring the concentration and total uptake of copper in soybean shoots, observed that of above-mentioned forms, organic (CuOM) and carbonate (CuCa) forms, had the strongest correlations with copper in soybean shoots. These forms showed positively significant correlations with Cu concentrations extracted by DTPA and EDTA ($P<0.01$). The comparison between different chemical forms of copper, indicated that the organic form was positively correlated with the carbonate form. Furthermore, the form connected to the amorphous iron oxides (CuAFe) showed a positive correlation with all of the chemical forms except for organic and carbonate forms. The strongest correlation among the different forms was obtained between amorphous iron oxides and crystalline iron oxides.

Keywords: Chemical forms, Soybeans, Copper, Concentration, Total uptake

* Corresponding Authors; Email: ltabande@yahoo.com